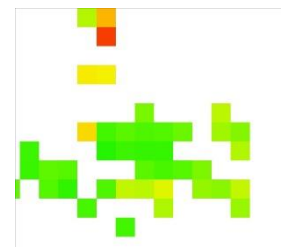
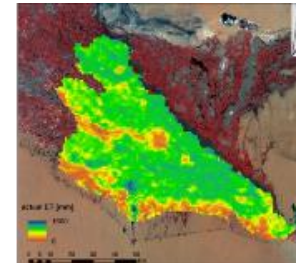
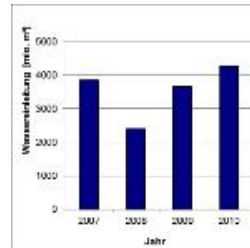
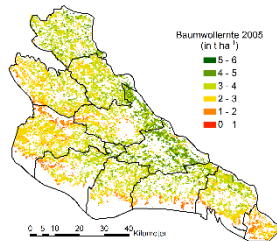


Estimation of actual evapotranspiration to derive irrigation efficiency indicators in the Aral Sea Basin, Central Asia

Tagung „Landschaftsprozessmonitoring mittels Multisensordaten“

5. Gemeinsamer Workshop der AKs

„Auswertung von Fernerkundungsdaten“ der DGPF e.V. und „Fernerkundung“ der DGfG e.V.



Patrick Knöfel, Dimo Dimov, Sarah Schönbrodt-Stitt, Christopher Conrad

Universität Würzburg, Institut für Geographie und Geologie, Lehrstuhl für Fernerkundung,
Oswald-Külpe-Weg 86, 97074 Würzburg

Work package III (University of Wuerzburg):

WUEMoCA (Water Use Efficiency Monitor in Central Asia):

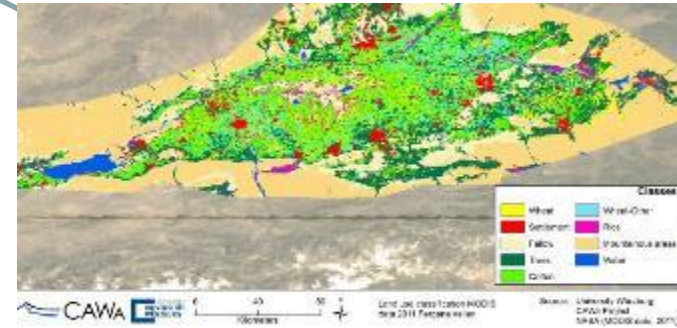
→ automated monitoring and visualization instrument addressing sustainable land management, decision making, and planning processes



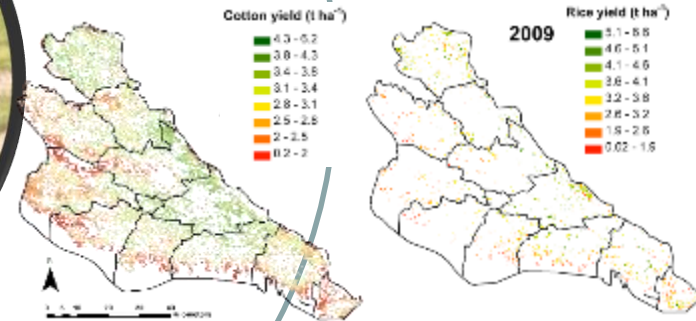
CAWA was designed to **support scientific cooperation and communication between the CA countries** (and Germany) in the sector of water resource management

Use of satellite remote sensing (multi-temporal multi-sensor mapping), Information about crops for each field parcel

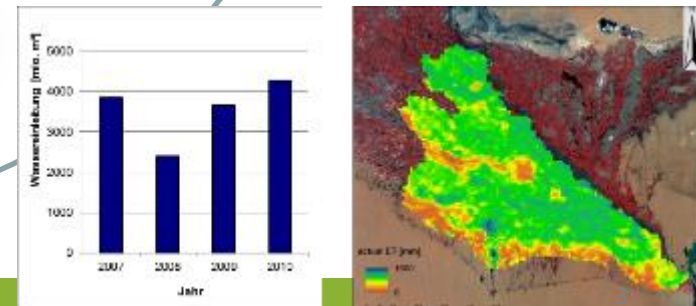
Land use (cotton, rice, wheat, fallow, etc.)



Crop yield/biomass development



Water flow / use efficiency



Water Use Efficiency Indicators:

Irrigation Efficiency: ET_a/W

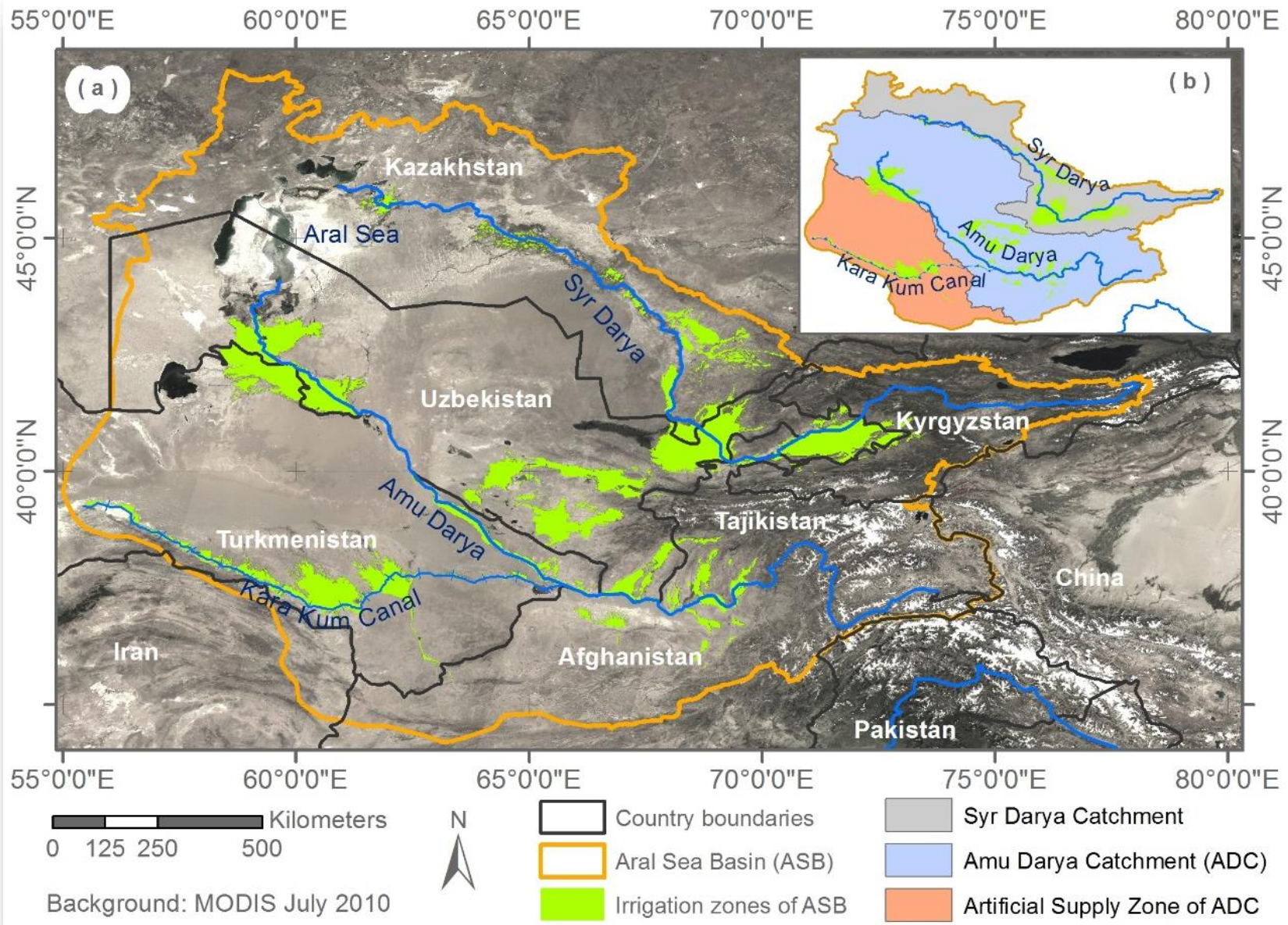
ET_a : actual Evapotranspiration

W : water withdrawal at the boundary of district

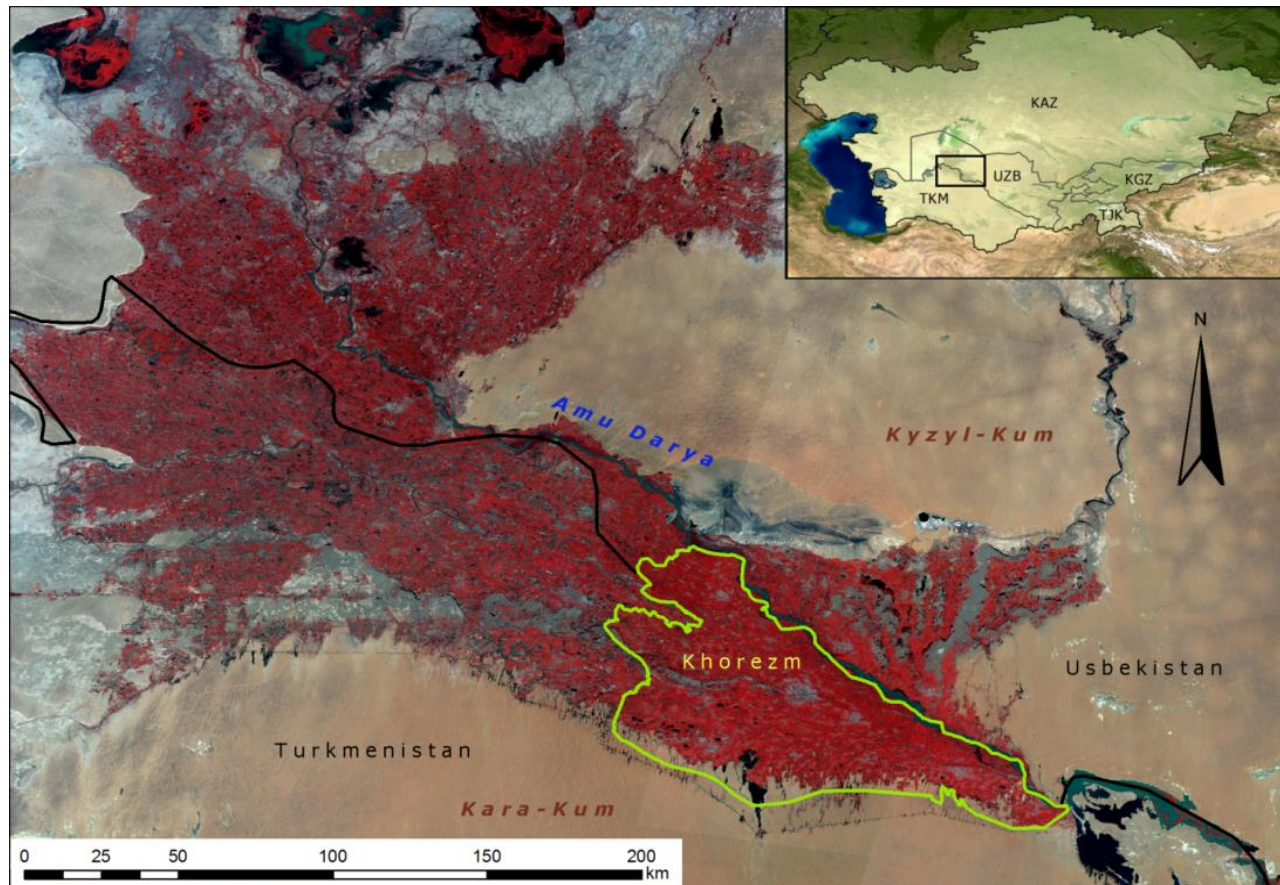
Crop water productivity : Y/ET_a in kg/m^3

Y : Crop specific yield

Non-sustainable irrigation water use in the Aral Sea Basin



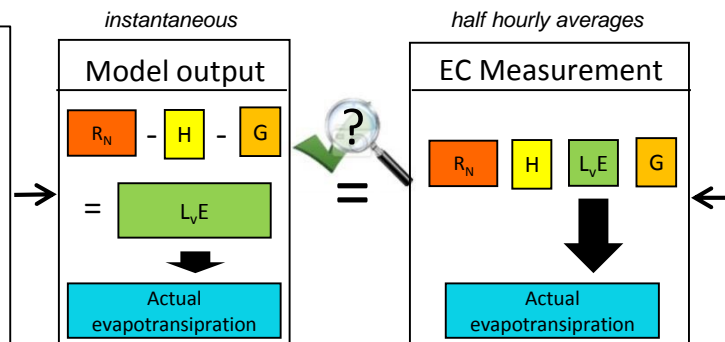
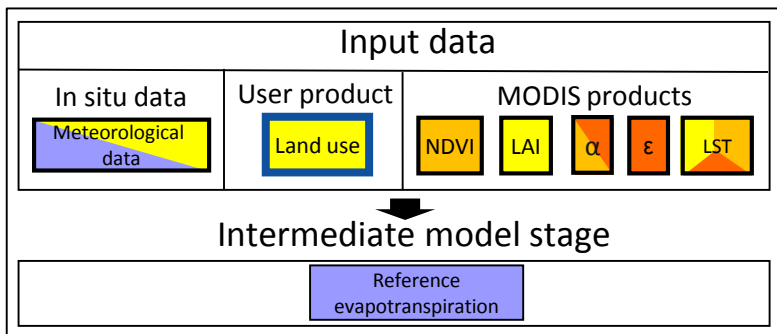
Khorezm is a textbook example of the problems of irrigated agriculture in the Aral Sea Basin (Vlek et al., 2012)



Test fields

Parameter	Product	Spatial resolution	temporal resolution
Land surface temperature und Emissivity	MOD11A1	1km	daily
NDVI	MOD13A2	1km	16-days
Albedo	MOD43B3	1km	16-days
LAI	MOD15A2	1km	8-days
Secondary data			
Land use classification	Derived from MODIS	250m	seasonal
Meteorological data	Based on climate data	point	Half hourly

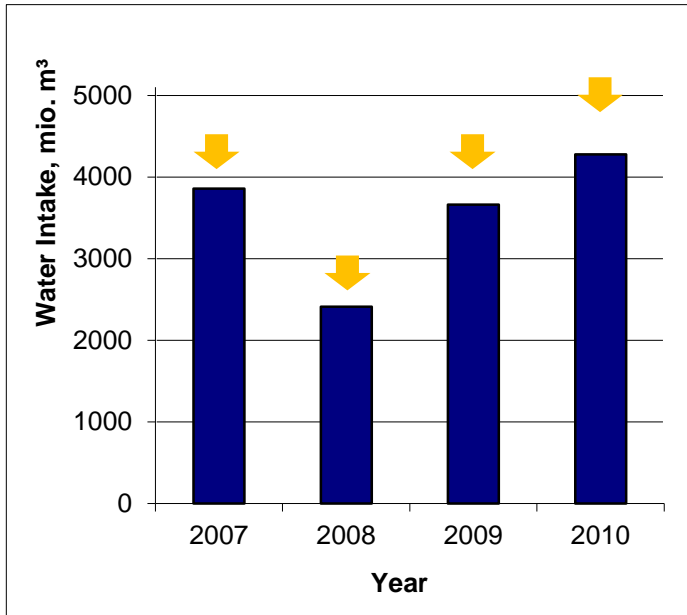
Scale: 0, 0,1, 1 km. Legend: wheat/rice. Reference station footprint.



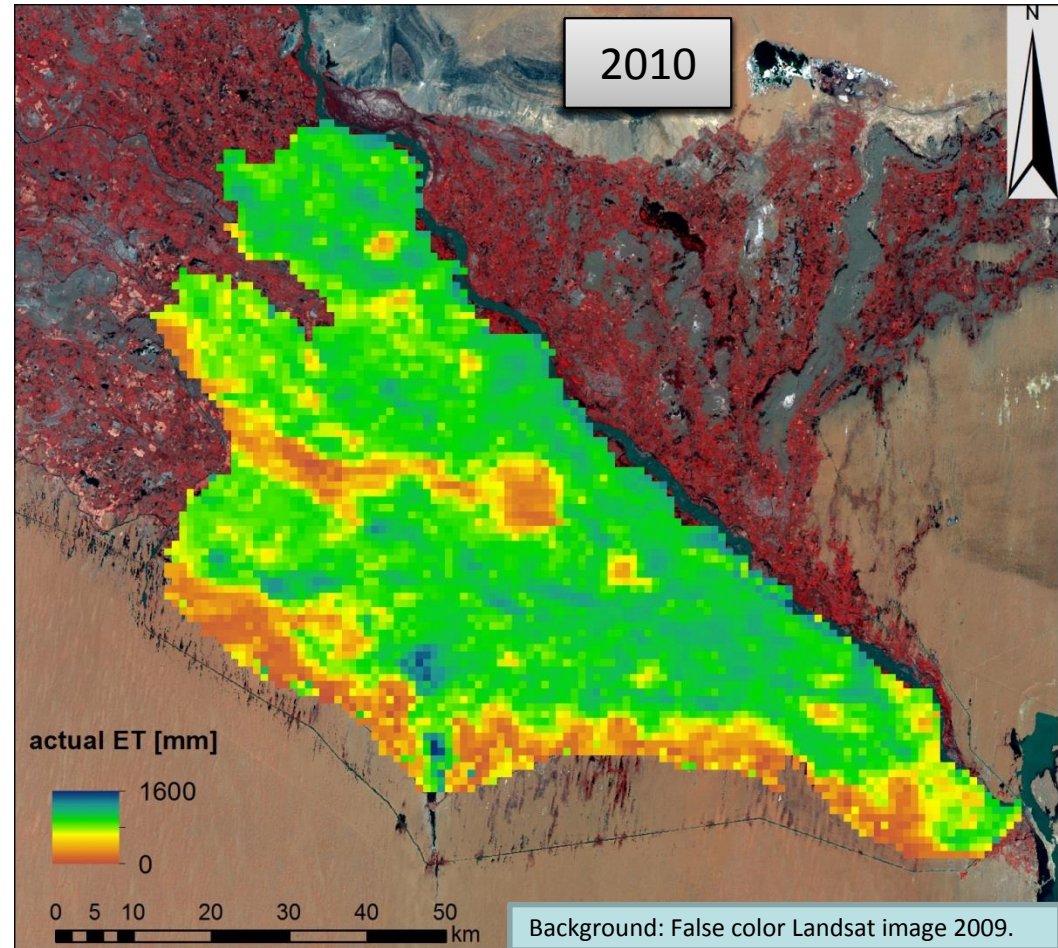
R_N : Net radiation
 λET : latent heat flux

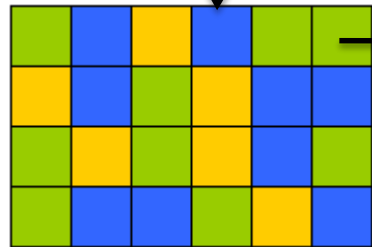
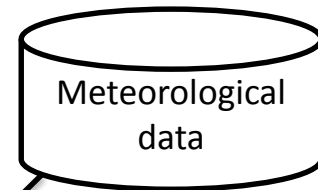
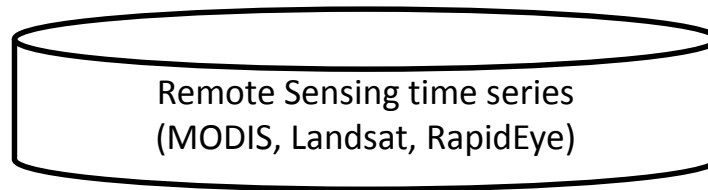
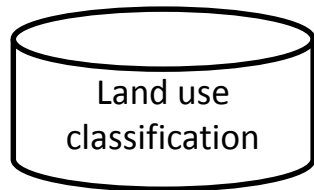
H : sensible heat flux
 G : soil heat flux

Water intake into Khorezm irrigation system



Year	Seasonal ET	Water intake	Estimated efficiency
2003	3.36	3.58	0.54
2004	4.04	3.68	0.62
2005	3.60	3.93	0.52
2006	3.28	3.68	0.52
2007	3.31	3.1	0.64
2008	3.11	1.69	0.96
2009	3.53	3.44	0.72





Daily calculation

$$\text{NPP}_{\text{day-x}} = \text{FPAR} * \text{LUE}_{\text{act}} * \text{PAR}$$

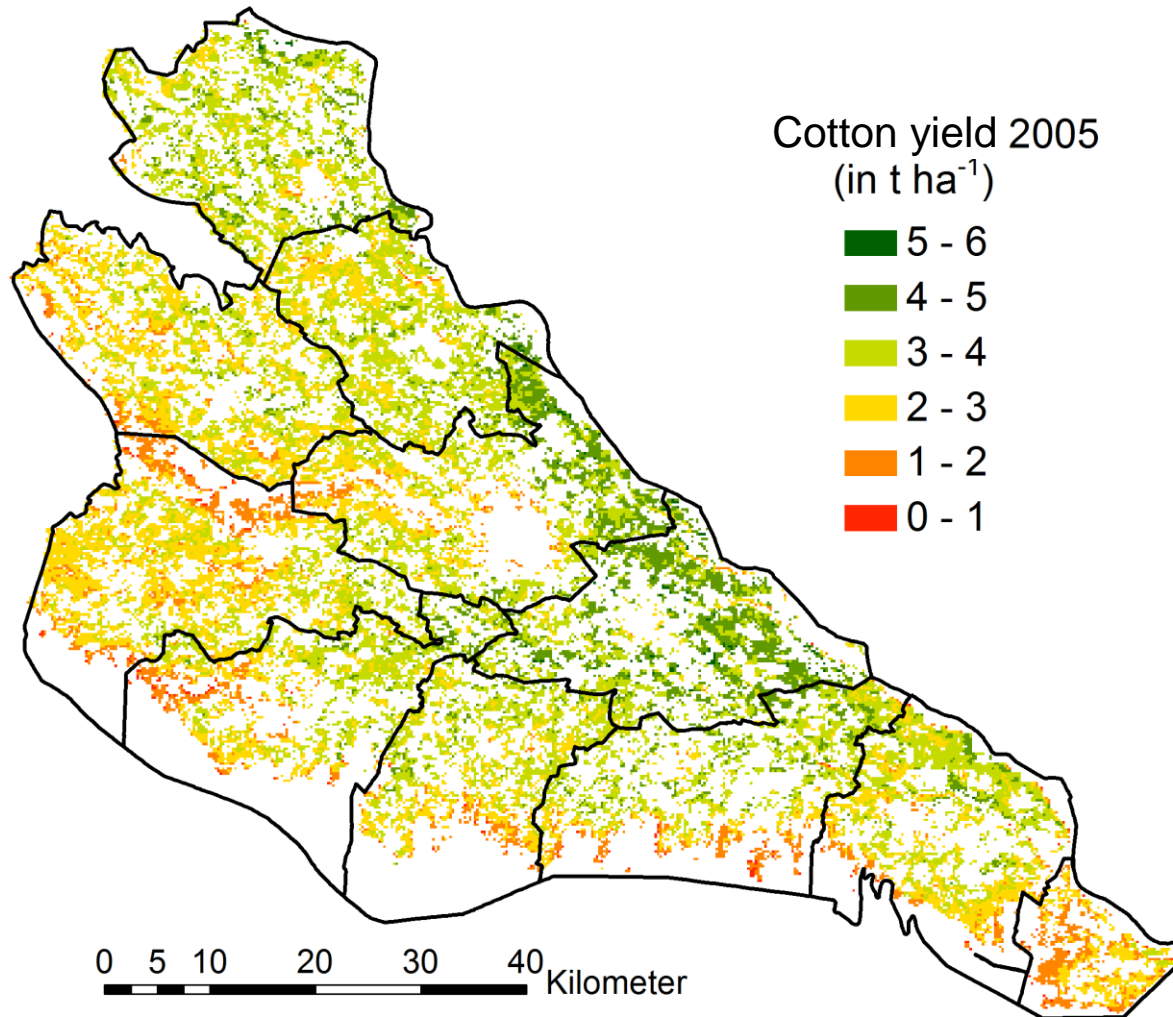
Seasonal calculation

$$\text{NPP}_{\text{season}} = \text{NPP}_{\text{day-1}} + \dots + \text{NPP}_{\text{day-H}}$$

day-H = day of harvest

$$\text{Yield} = \text{NPP}_{\text{season}} * H_i$$

Validation with harvest information



Source : Fritsch et al. 2013

Due to spatial resolution of input data the “**water productivity**” is calculated based the coarse resolution → 1km pixel with homogenous land use (threshold: 80% of same land use)

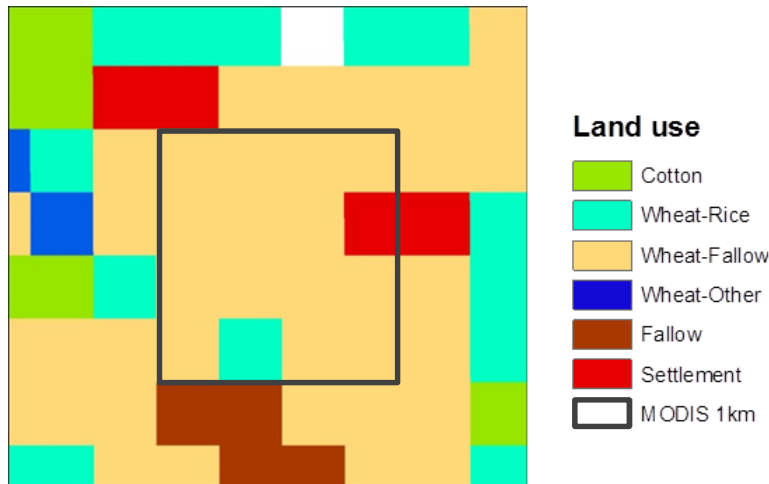
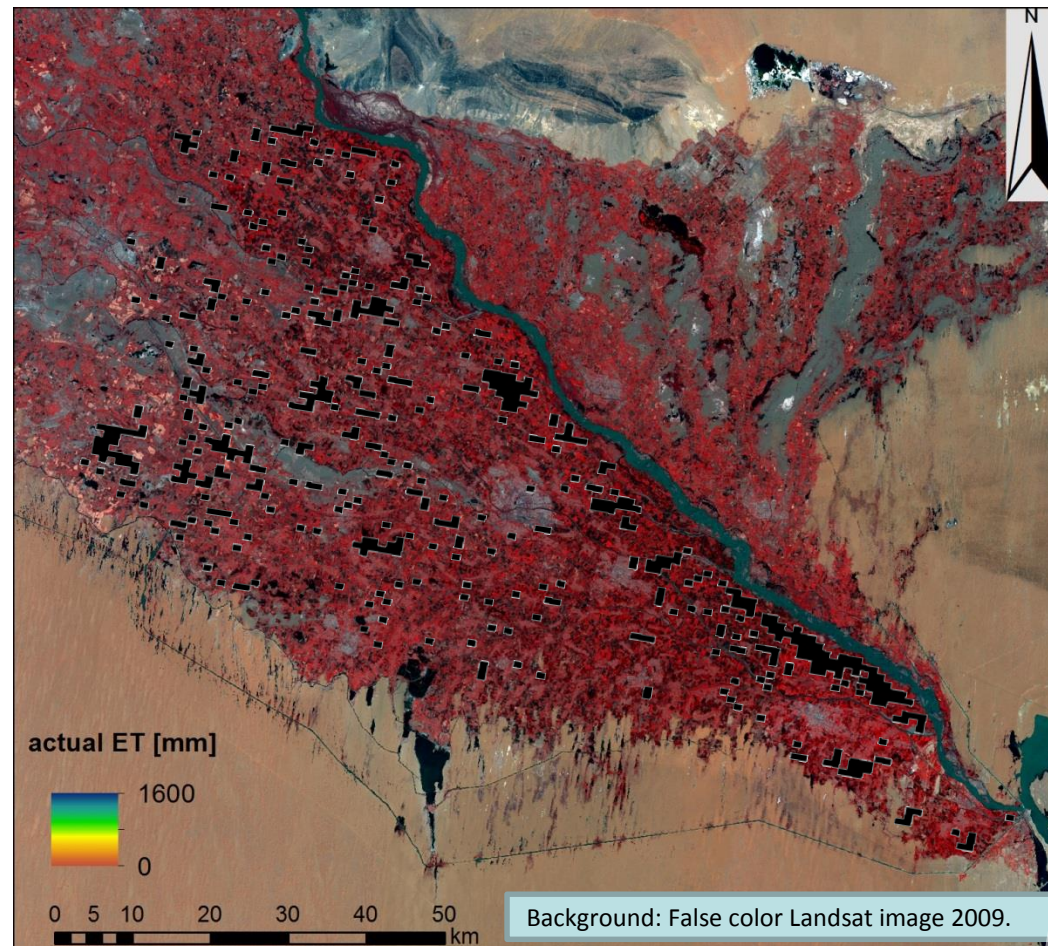


Table: Number of homogeneous pixel per year

	2003	2004	2005	2006	2007	2008	2009
Cotton	486	659	661	573	672	366	629
Wheat-Rice	0	0	0	2	1	1	8
Wheat-Fallow	0	6	1	2	0	0	0
Wheat-Other	46	29	58	67	37	48	46
Rice	101	58	34	31	25	12	6
Fallow	461	485	458	475	518	821	563

Year	mean water productivity cotton
2003	0.28
2004	0.25
2005	0.27
2006	0.28
2007	0.31
2008	0.22
2009	0.30

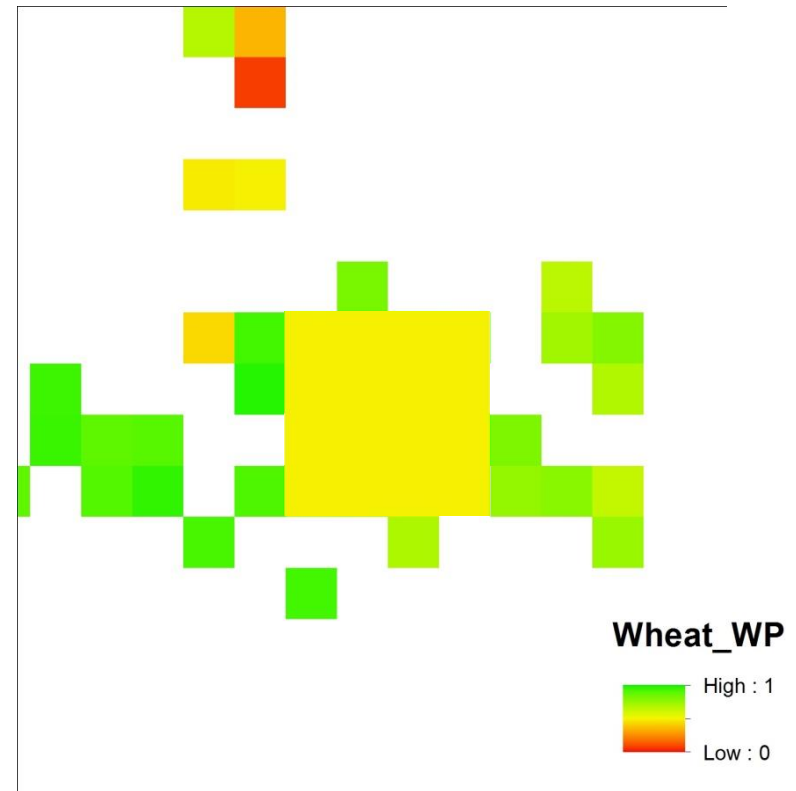


Analysis of cotton water productivity based on 1km homogenous pixel is suitable, but for other crop this approach is insufficient.

- Disaggregation of LST
- Disaggregation of evaporative fraction (ETF) based on ETF - NDVI relation (Eswar et al., 2013)

Year	wheat WP 1km	wheat WP 250m
2003	-	-
2004	0.340	-
2005	0.385	-
2006	0.449	0.388
2007	-	-
2008	-	-
2009	-	-

Wheat WP 2006



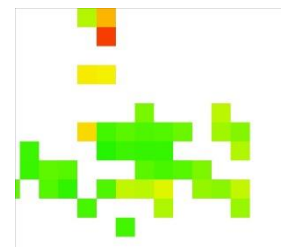
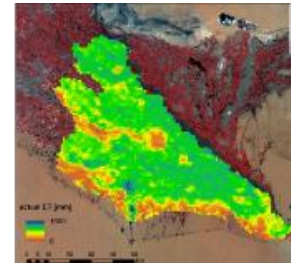
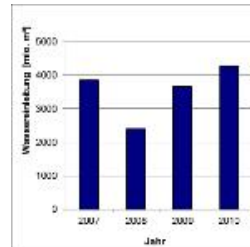
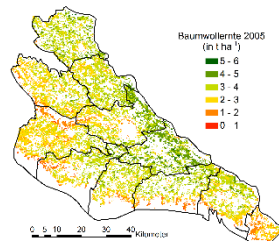
- Low irrigation efficiency in Khorezm (0.58). Official water withdrawal statistics are not suitable for calculation due to underestimation.
- Problems of ET modelling in dry years.
- To evaluate wheat WP disaggregation approach should be performed
- Regions mean WP is 0.41 (literature: 0.48) kg/m^3 for winter wheat and 0.26 (0.23) kg/m^3 for cotton. Thus, WP is small compared to other irrigation systems of the world ($< 2.4 \text{ kg}/\text{m}^3$).

Thanks for your attention

Tagung „Landschaftsprozessmonitoring mittels Multisensordaten“

5. Gemeinsamer Workshop der AKs

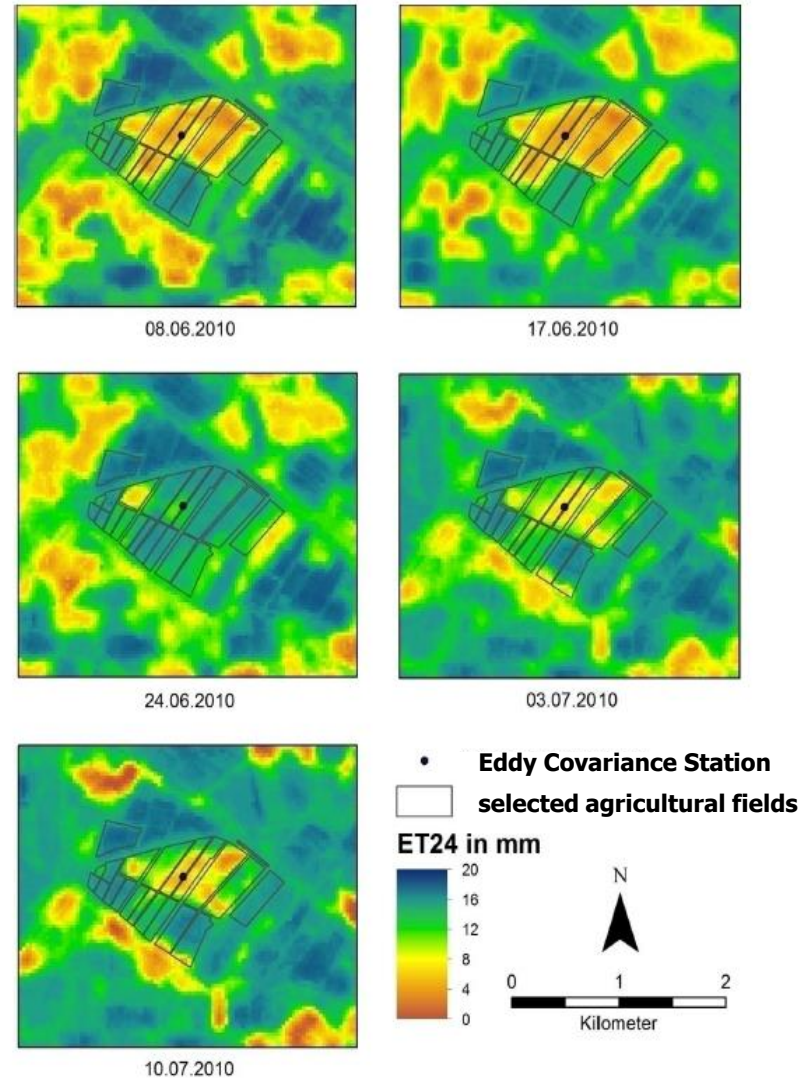
„Auswertung von Fernerkundungsdaten“ der DGPF e.V. und „Fernerkundung“ der DGfG e.V.

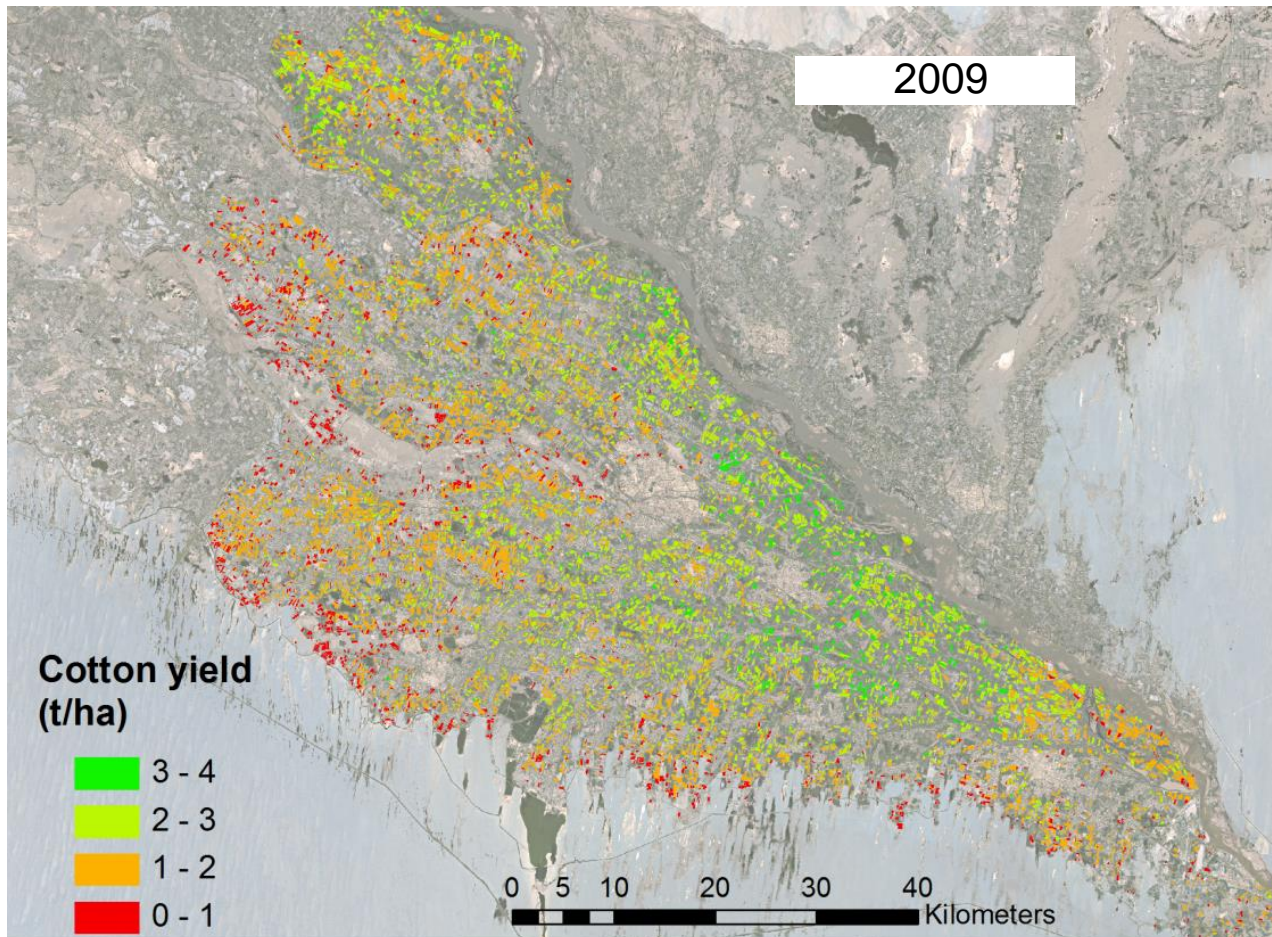


Patrick Knöfel, Dimo Dimov, Sarah Schönbrodt-Stitt, Christopher Conrad

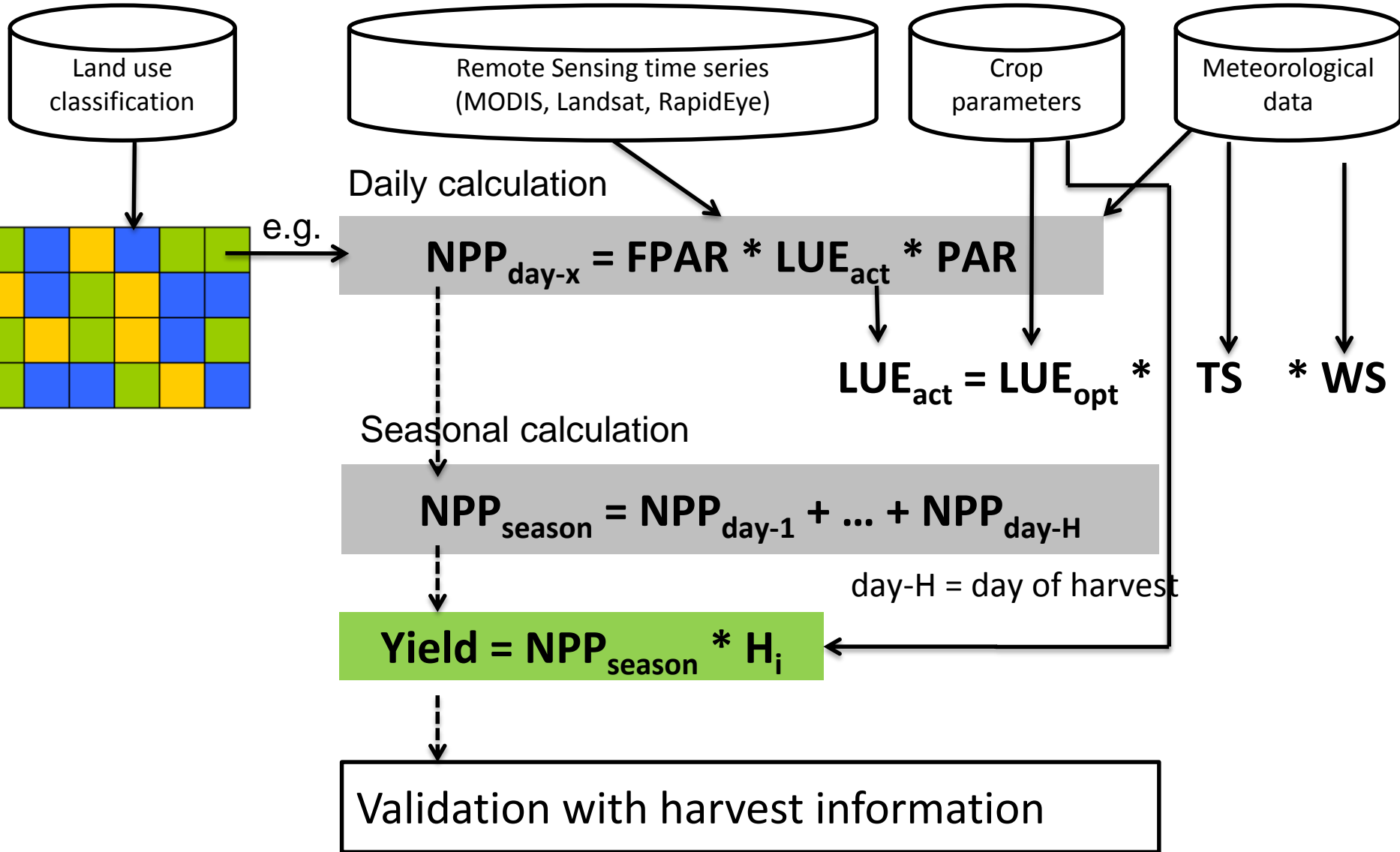
Universität Würzburg, Institut für Geographie und Geologie, Lehrstuhl für Fernerkundung,
Oswald-Külpe-Weg 86, 97074 Würzburg

Problem of temporal resolution for derivation of seasonal ET product
→ interpolation of Landsat ETF an apply on reference ET.

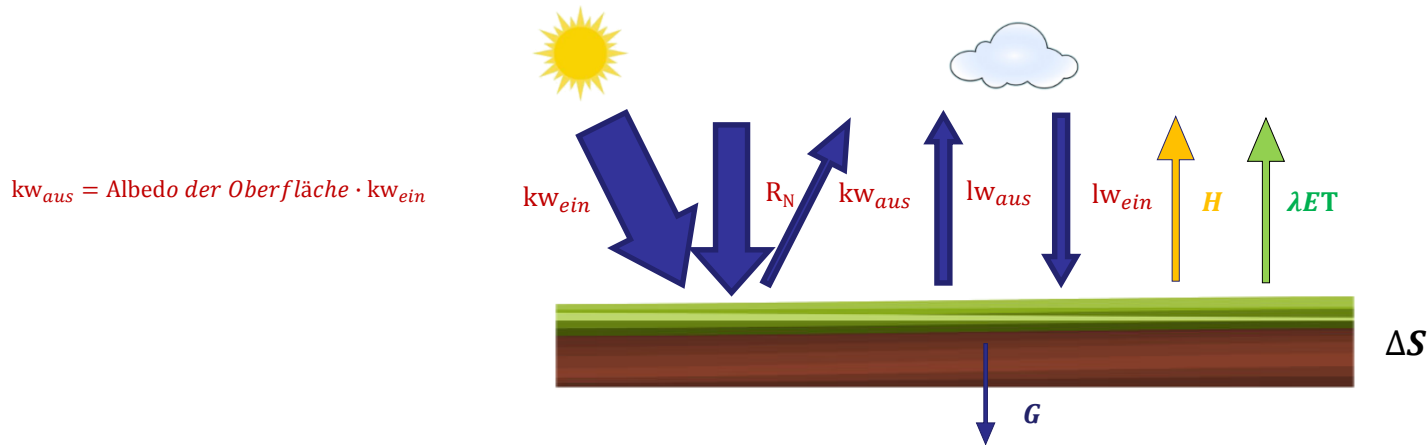




Source : Fritsch et al. 2013



Energiebilanz an der Erdoberfläche



$$R_N - H - \lambda ET - G = 0$$

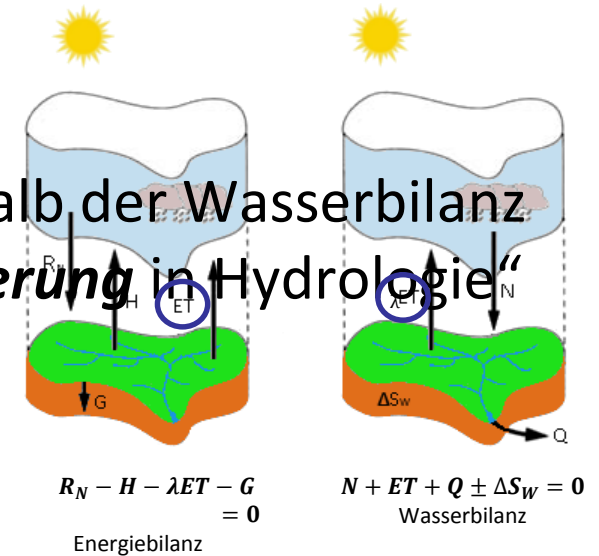
- R_N : Strahlungsbilanz
 H : fühlbarer Wärmestrom
 λET : latenter Wärmestrom
 G : Bodenwärmestrom
 ΔS : gespeicherte Energie

Vereinfachte Energiebilanzgleichung:

„Das Verständnis des **Energie-** sowie des **Wasserkreislaufes** ist **ZUR** Beschreibung der komplexen Wechselwirkungen innerhalb des Klimasystems der Erde essentiell.“ (Kuttler, 2009)

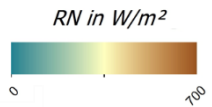
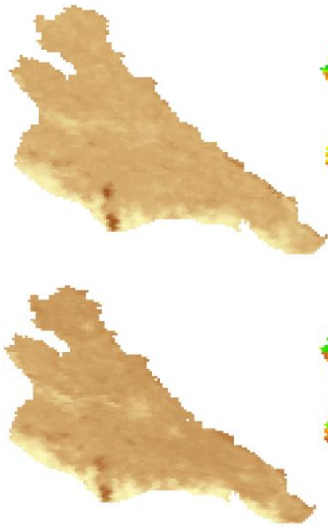
„Realistische Abschätzung der ET innerhalb der Wasserbilanz zählt zu den **wesentlichsten Herausforderung** in Hydrologie“

(Li et al., 2009)

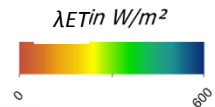


„Besondere Bedeutung der Evapotranspiration (ET) da sie Teilkomponente **beider Kreisläufe** ist“ (Foken, 2006)

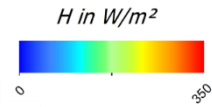
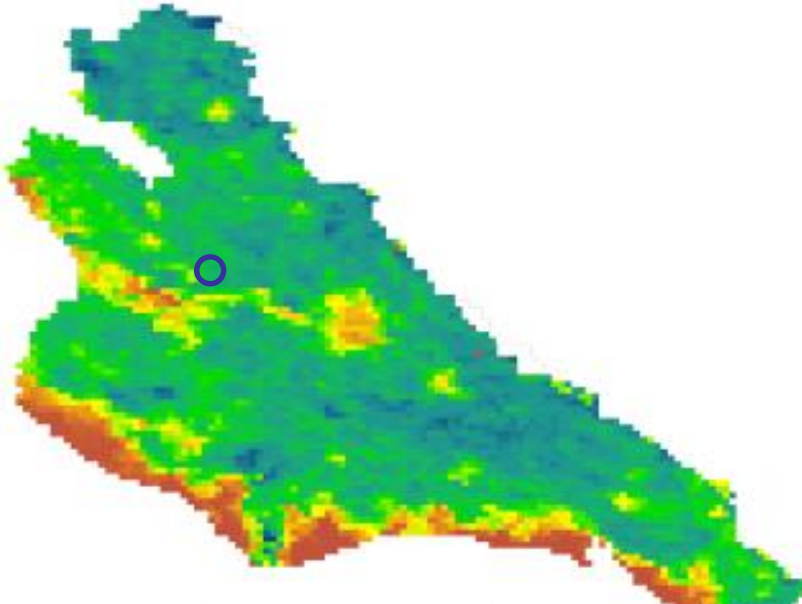
Strahlungsbilanz



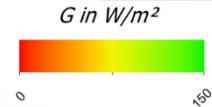
latente Wärme



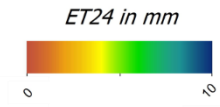
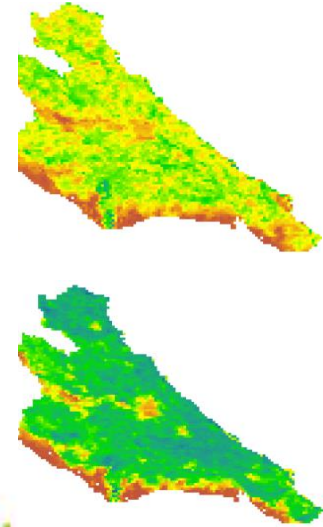
fühlbarer Wärmestrom



Nettofühlbarer Wärmestrom

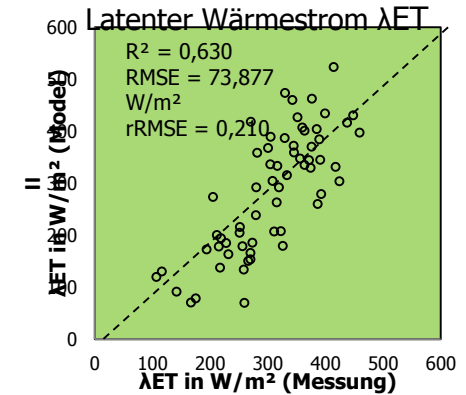
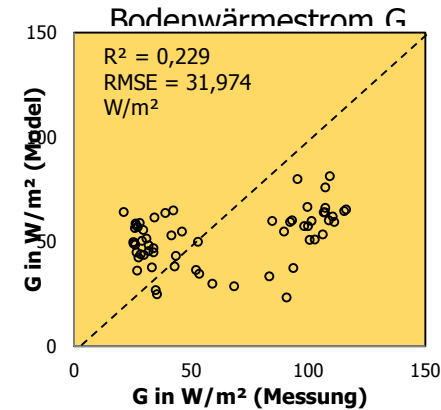
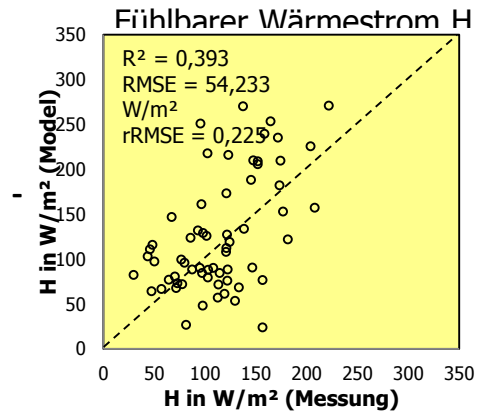
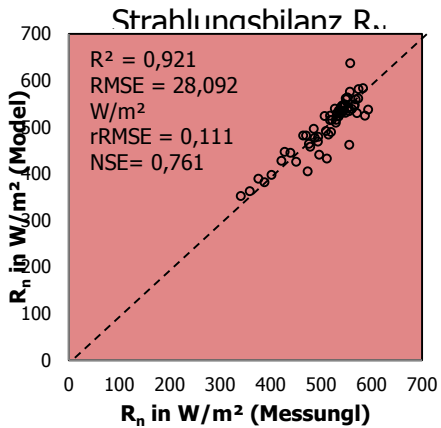


Verdunstung

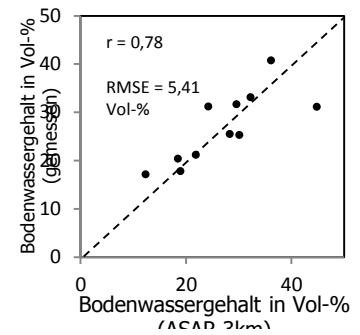
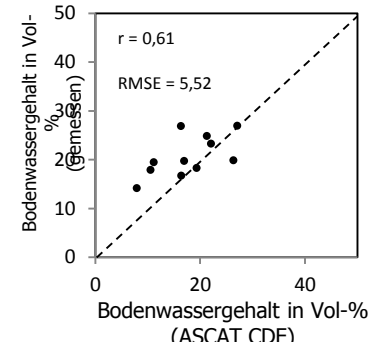
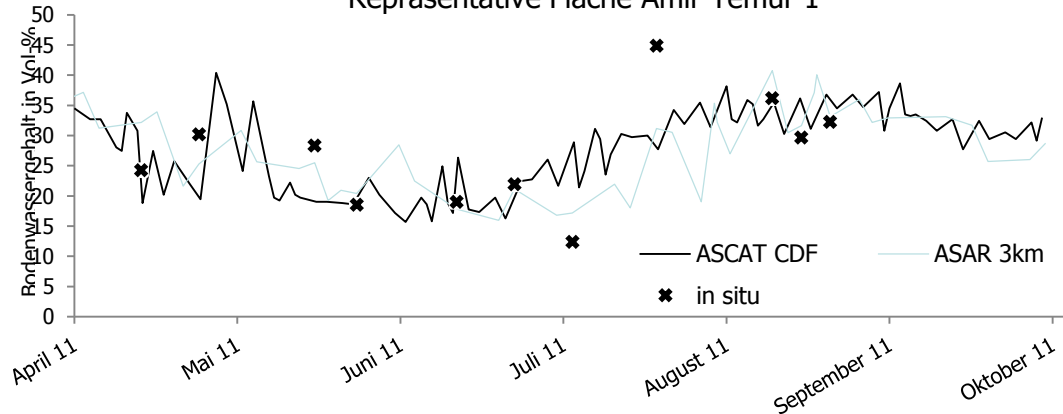


Ermittelte Gütemaße für das Jahr

Qualität	R ² und NSE	rRMSE
Sehr gut	> 0,75	< 0,2
Gut	> 0,5	< 0,3
ausreichend	> 0,25	< 0,4
unzureichend	< 0,25	> 0,4



Repräsentative Fläche Amir Temur 1

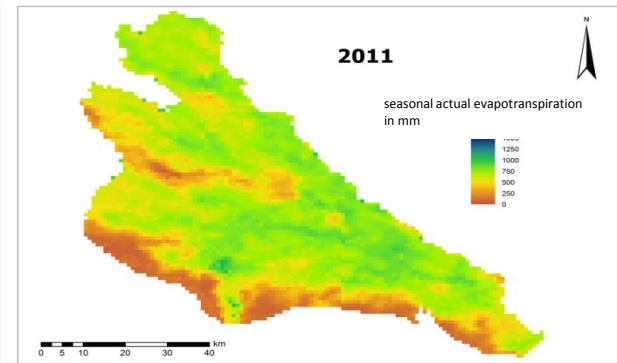
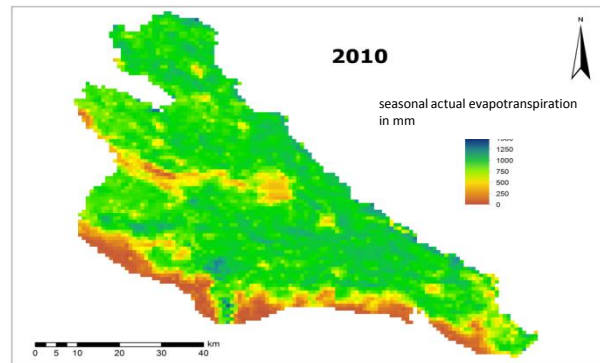
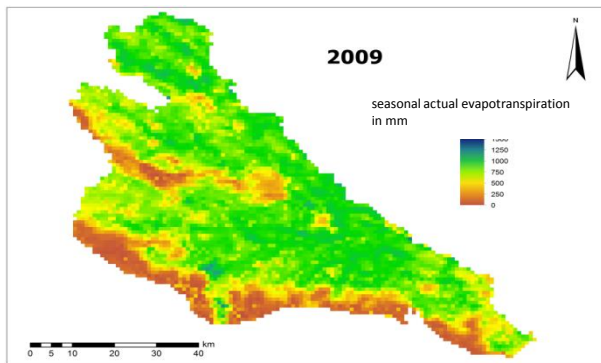


➔ Produktvalidierung → geeignete Qualität des Radarbodenfeuchteprodukts

3. Forschungsziel: **Entwicklung und Evaluierung eines neuen Berechnungsansatzes zur Bestimmung des Bodenwärmestroms**

Model results

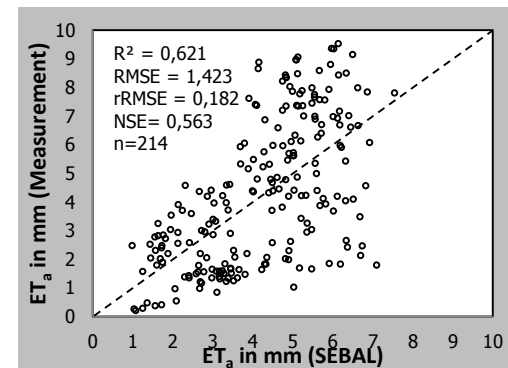
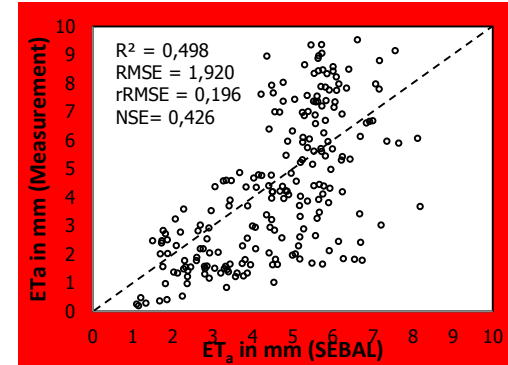
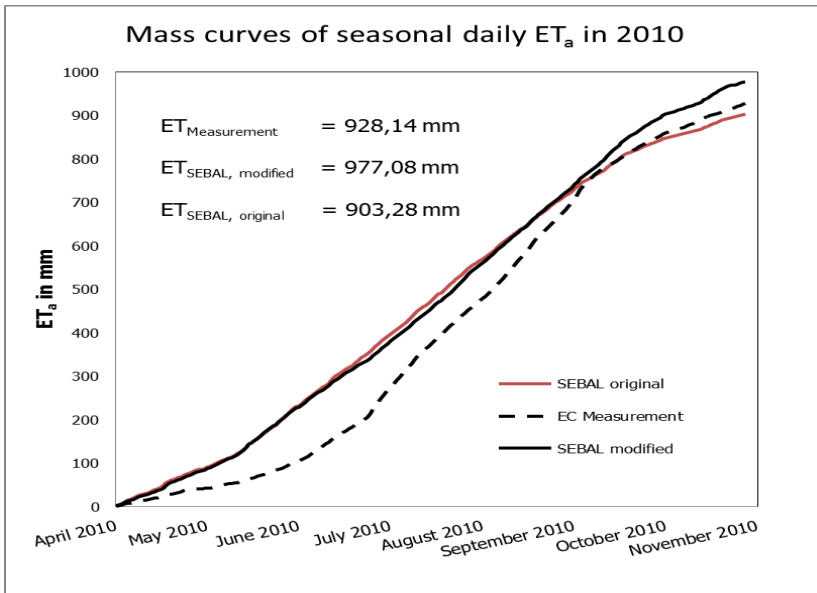
Seasonal evapotranspiration



Year	Min in mm	Max in mm	Mean in mm	Variance in mm	seasonal ET _a in km ³	yearly available irrigation water ¹ in km ³
2009	4.9	1250.5	676.4	194.6	3,534	3,440
2010	5.4	1372.3	790.6	224.4	4,146	4,278
2011	4.1	1041.9	606.6	173.5	3,184	2,958

¹Data source : SIS ICWC (2012)

Evaluation of ET₂₄

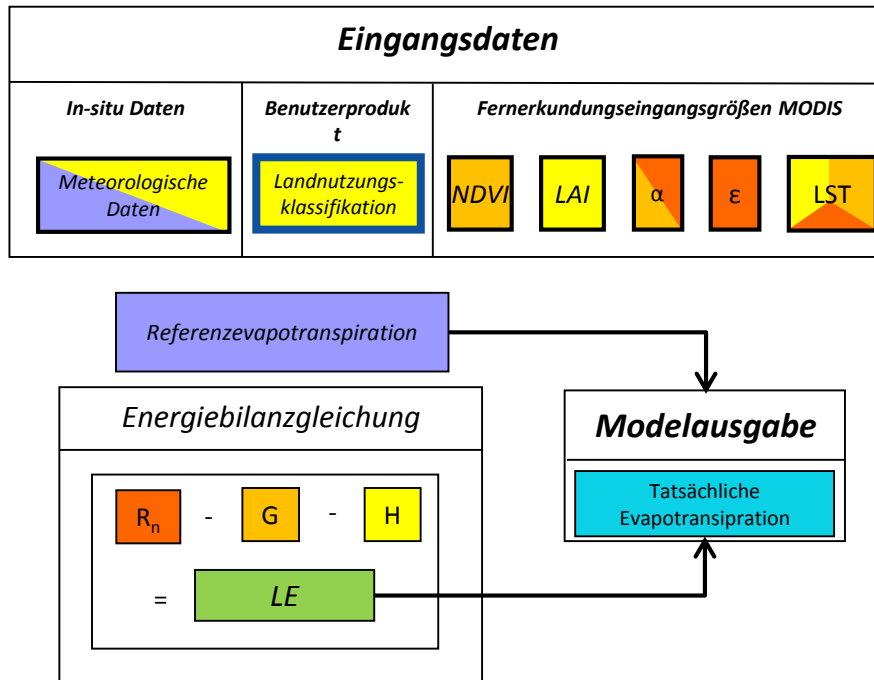


Remote Sensing Data

- SEBAL was implemented based on MODIS time series to estimate seasonal ET
- Microwave remote sensing data was implemented to estimate G
- Selection of useable MODIS scenes based on quality criteria

Year	Valid MODIS scenes after QA
2009	48
2010	63
2011	60

Parameter	Product	Instrument	Platform	Spatial resolution	Temporal resolution
Land surface temperature and Emissivity	MOD11A1 (LST)	MODIS	Terra	1km	daily
Vegetation index	MOD13A2 (NDVI)	MODIS	Terra	1km	16-day
Albedo	MOD43B3	MODIS	Terra	1km	16-day
Leaf area index	MOD15A2 (LAI)	MODIS	Terra	1km	8-day
Soil moisture	ASCAT SSM	ASCAT	MetOp	25km	daily
	ASAR SSM	ASAR	Envisat	1km	3-day
Secondary data					
Land use classification	Derived from MODIS data			250m	seasonally
Meteorological information	Derived from regional climate stations			point	half hourly



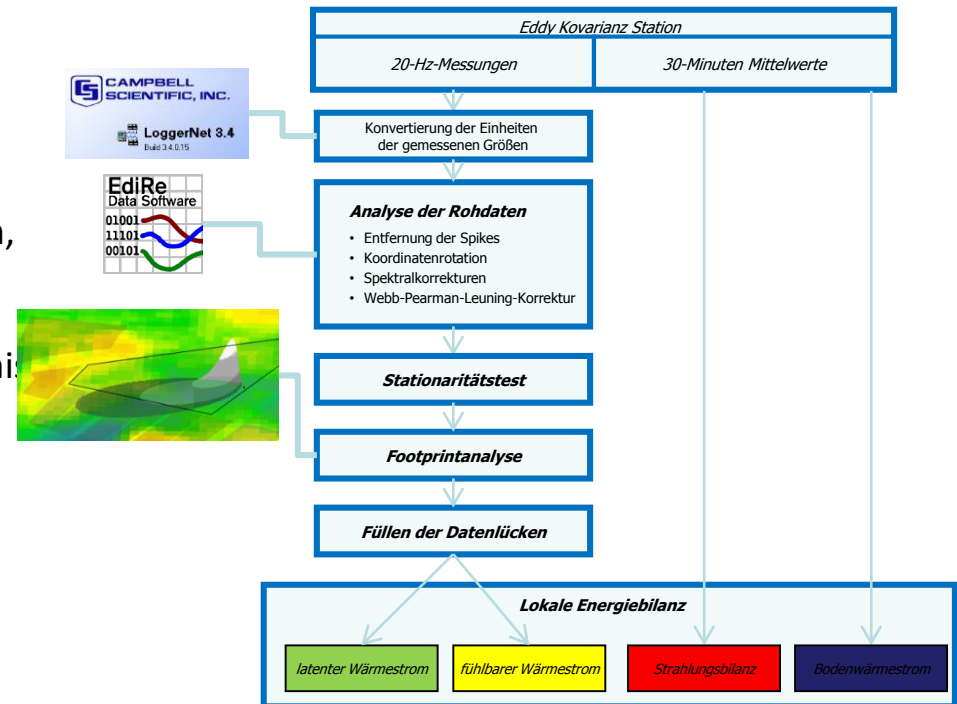
Parameter	Produkt	Räumliche Auflösung	Zeitliche Auflösung
Landoberflächentemperatur und Emissivität	MOD11A1	1km	täglich
Vegetationsindex	MOD13A2	1km	16-Tage
Albedo	MOD43B3	1km	16-Tage
Blattflächenindex	MOD15A2	1km	8-Tage
Sekundäre Daten			
Landnutzungs-klassifikation	Abgeleitet aus MODIS data	250m	saisonal
Meteorologische Daten	Ermittelt von regionalen Klimastationen	Punkt	Halb-stündlich

Rohdatenverarbeitung und

Qualitätsanalyse u.a.:

- atmosphärischer Schichtung,
- Rohdatenqualität (z.B. Spikes, Rauschen, usw.),
- Windrichtung (z.B. Störquellen, Hindernisse),
- Schubspannungsgeschwindigkeit,
- Footprint (Homogenität des Messuntergrundes).

→ Datenausfallrate ca. 65%

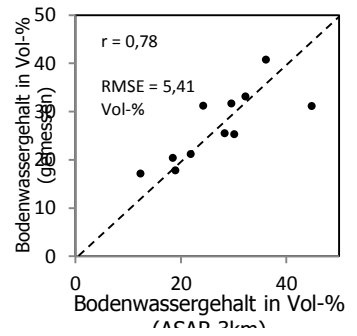
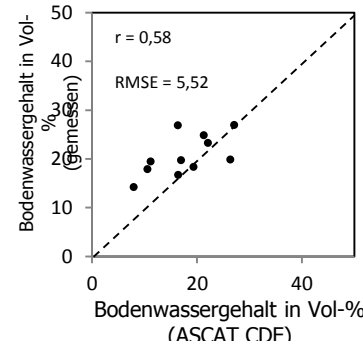
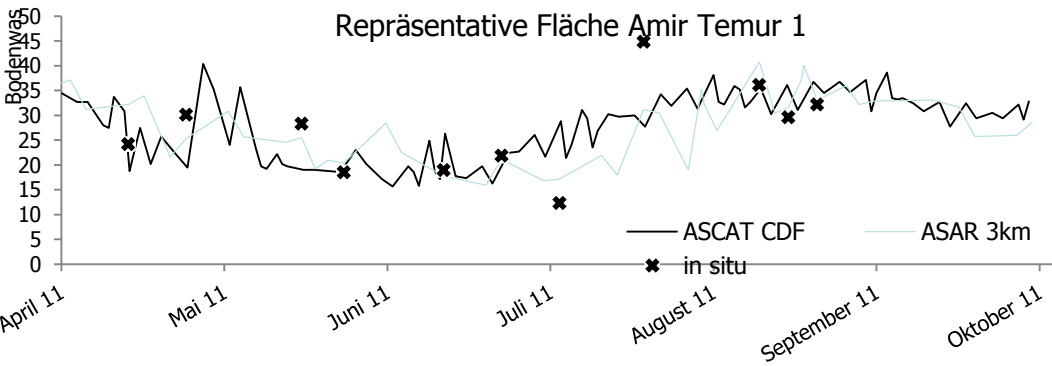
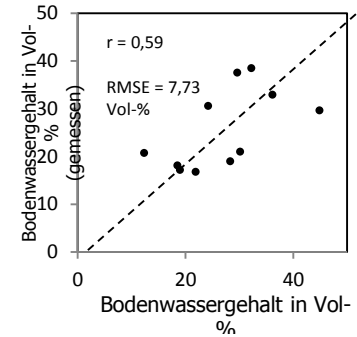
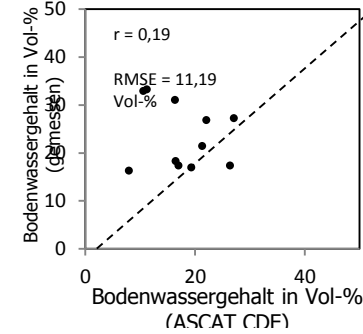
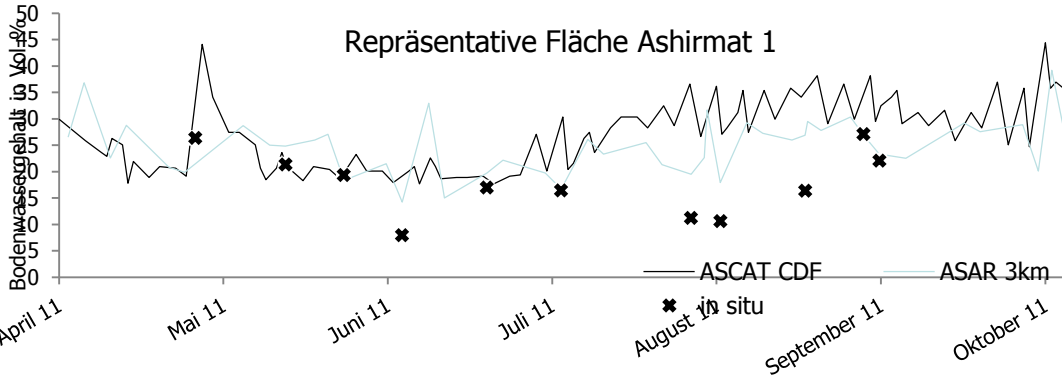


Implementierung des auf Landsat Datenbasis entwickelten SEBAL Algorithmus für MODIS Daten

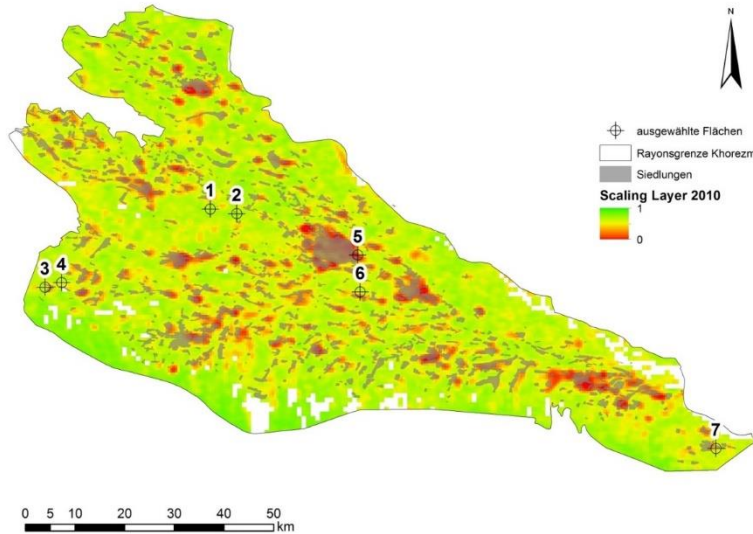
Begrenz
räumlich

Parameter	Produkt	Instrument	Plattform	Räumliche Auflösung	Zeitliche Auflösung
Landoberflächentemperatur und Emissivität	MOD11A1	MODIS	Terra	1km	täglich
Vegetationsindex	MOD13A2	MODIS	Terra	1km	16-Tage
Albedo	MOD43B3	MODIS	Terra	1km	16-Tage
Blattflächenindex	MOD15A2	MODIS	Terra	1km	8-Tage
Bodenfeuchte	ASCAT SSM	ASCAT	MetOp	25km	täglich
	ASAR SSM	ASAR	Envisat	1km	3-Tage
Sekundäre Daten					
Landnutzungsklassifikation	Abgeleitet aus MODIS data			250m	saisonal
Klimastationsinformationen	Ermittelt von regionalen Klimastationen			Punkt	halbstündlich

ngsten



Messung an repräsentativen Orten → Anzahl der in-situ Messpunkte eines Bodenfeuchtenetzwerkes kann demnach minimiert



ität von

SSM (

und Θ

trächt

Nr.	Bezeichnung der Messstelle	Werte des SL-2010	Saisonale zeitliche Stabilität 2011
1a	Amir Temur 1	0,617	0,507
1b		0,636	0,578
2	Amir Temur 2	0,702	0,579
3a	Ashimat 1	0,571	0,332
3b		0,598	0,367
3c		0,503	0,344
4a	Ashimat 2	0,597	0,546
4b		0,582	0,502
4c		0,540	0,416
5	CRI	0,093	0,291
6	Khanka	0,311	0,307
7a	Pitnak	0,373	0,503
7b		0,343	0,560
7c		0,473	0,503

n

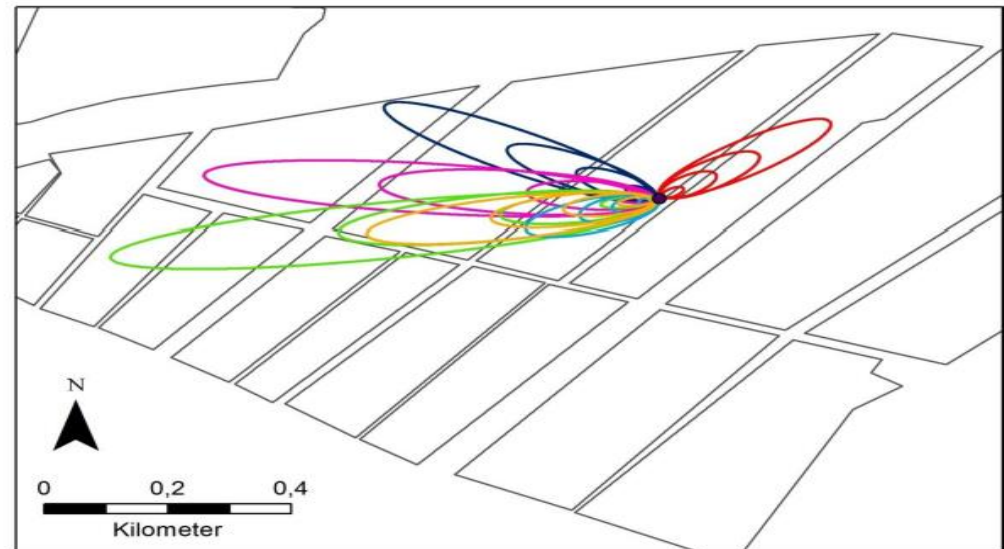
M

3. Ergebnisse und Validierung - Footprintanalyse

Zur Bestimmung der gültigen Tage der Flussmessungen wurde eine Footprintanalyse durchgeführt.

(Tage an denen der Footprint überwiegend im zu betrachtenden Subökosystem liegt, hier: Baumwollökosystem)

Vorherrschende Windrichtung ist SSW bis WSW.



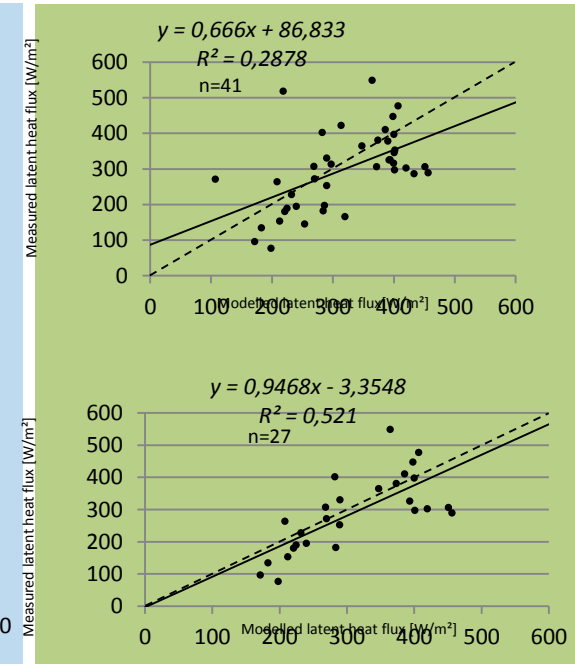
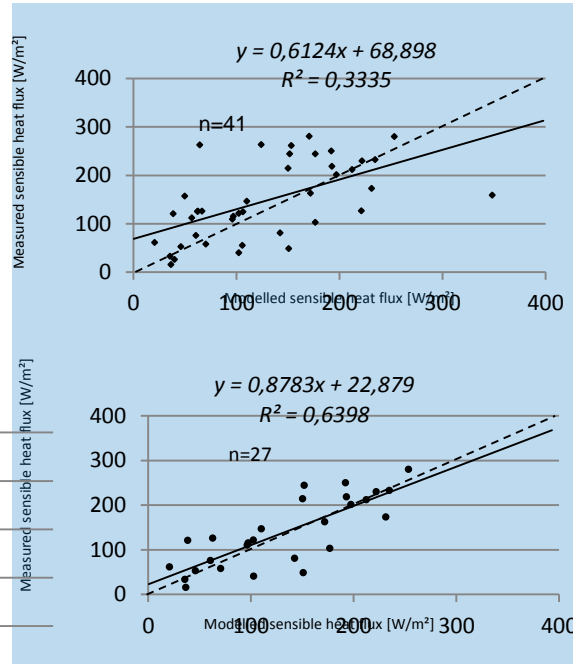
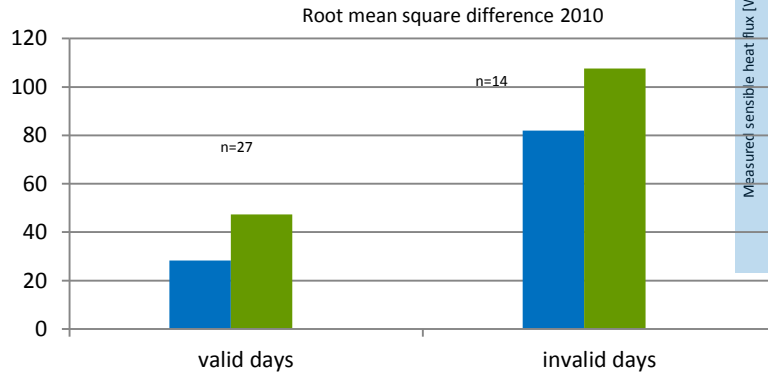
- Standort Eddy-Tower
- ausgewählte Feldgrenzen
- Footprint 08.06.
- Footprint 17.06.
- Footprint 24.06.
- Footprint 03.07.
- Footprint 10.07.
- Footprint 19.07.

3. Ergebnisse und Validierung - Footprintanalyse

Die Durchführung einer Footprintanalyse führt zu geringeren RMSD verglichen mit den RMSD für alle Tage für die ein Modelllauf durchgeführt wurde.

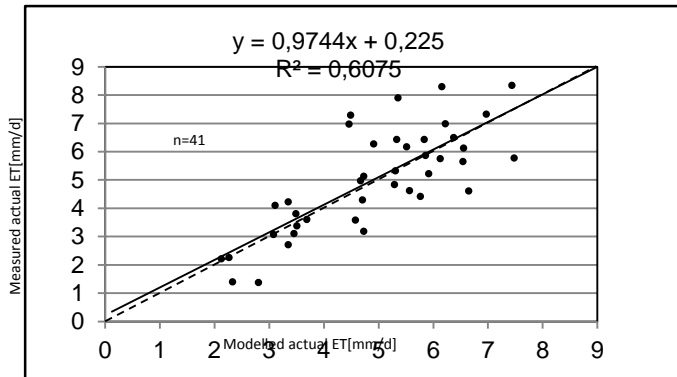
Schwächere Korrelation zwischen Mess- und Modellwerten ohne Footprintanalyse.

Nach der Footprintanalyse stärkerer Zusammenhang.

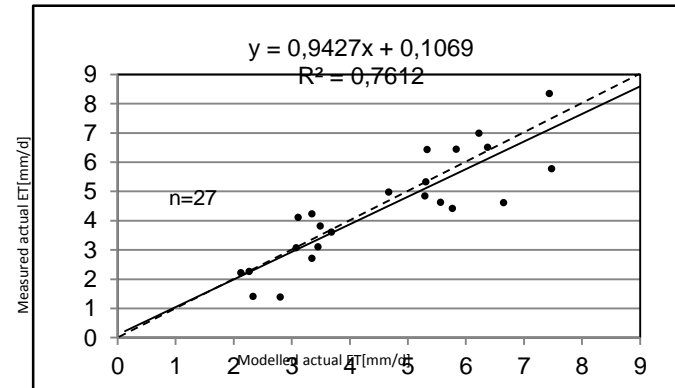


3. Ergebnisse und Validierung - Footprintanalyse

Tägliche tatsächliche Evapotranspiration 2010



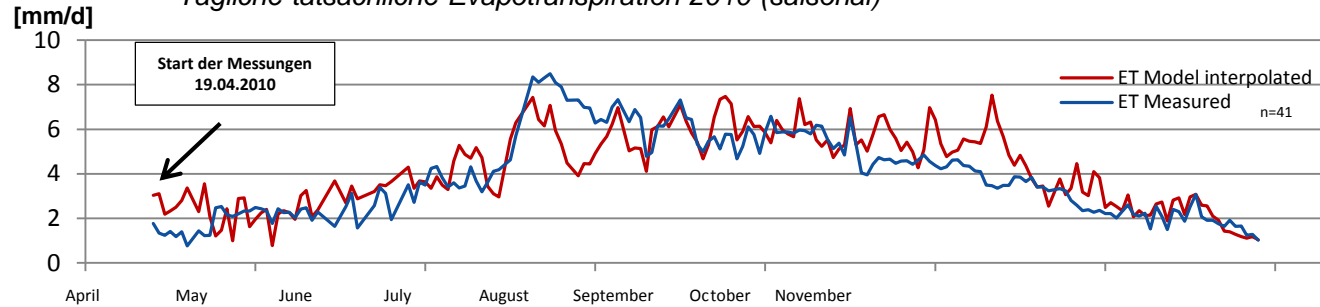
Tage mit gültigen MODIS Szenen



Tage mit gültigem Footprint

3. Ergebnisse und Validierung - Footprintanalyse

Tägliche tatsächliche Evapotranspiration 2010 (saisonal)



Leaf development



Main stem elongation



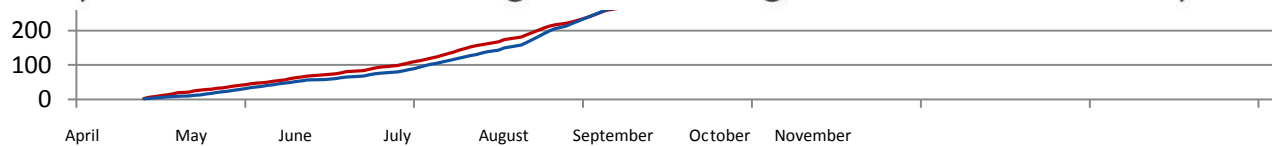
Flowering



Fruit development



Beginning of Ripening



ET24 für die gültigen Tage
nach der Footprintanalyse
2010.

